

Fig. 1B

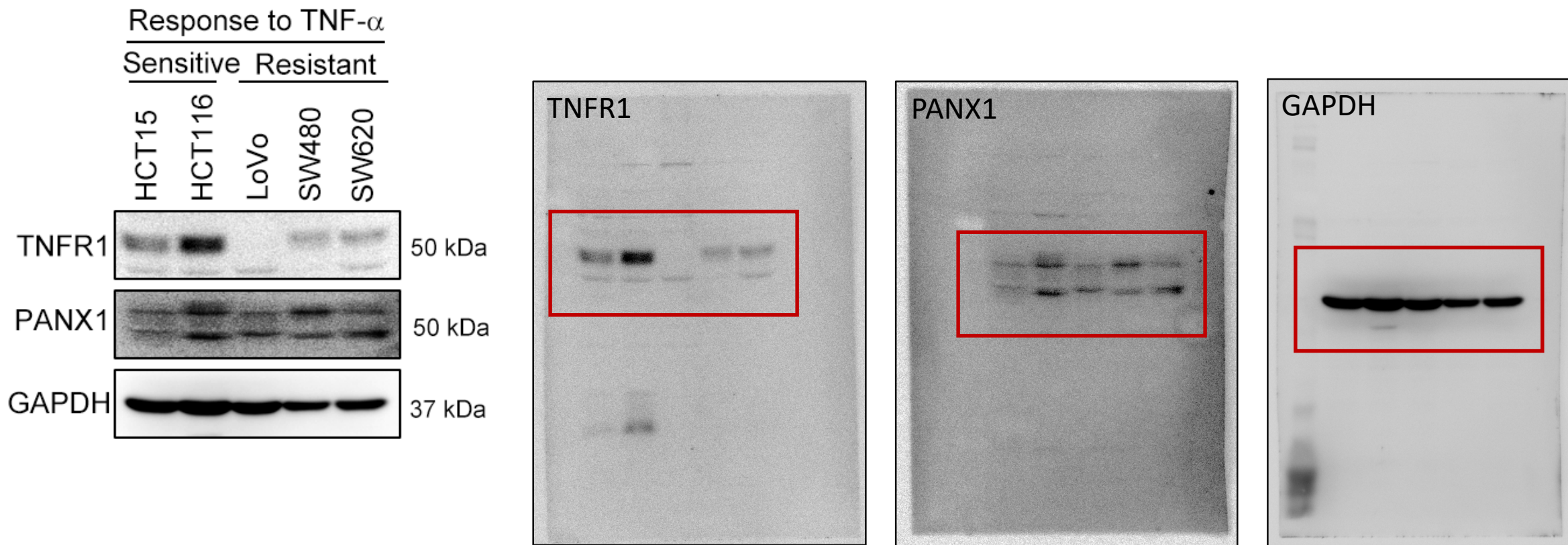


Fig. 1C

C

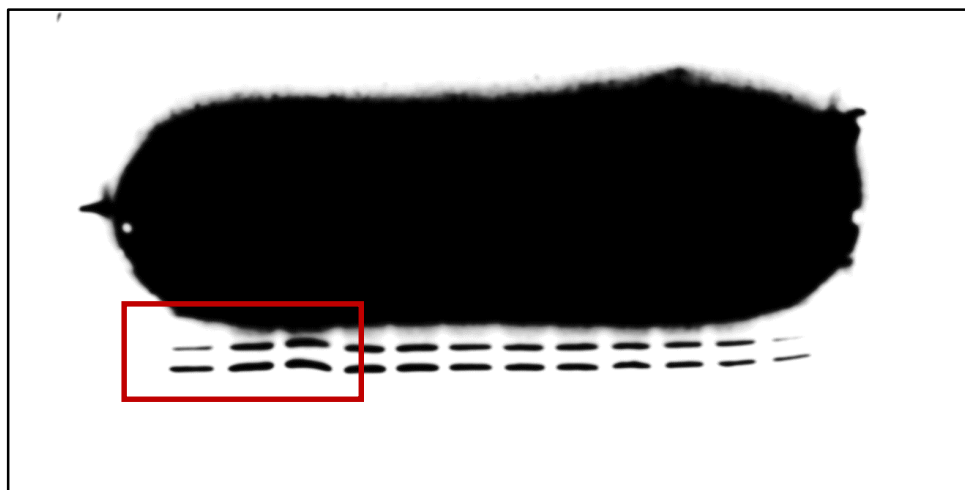
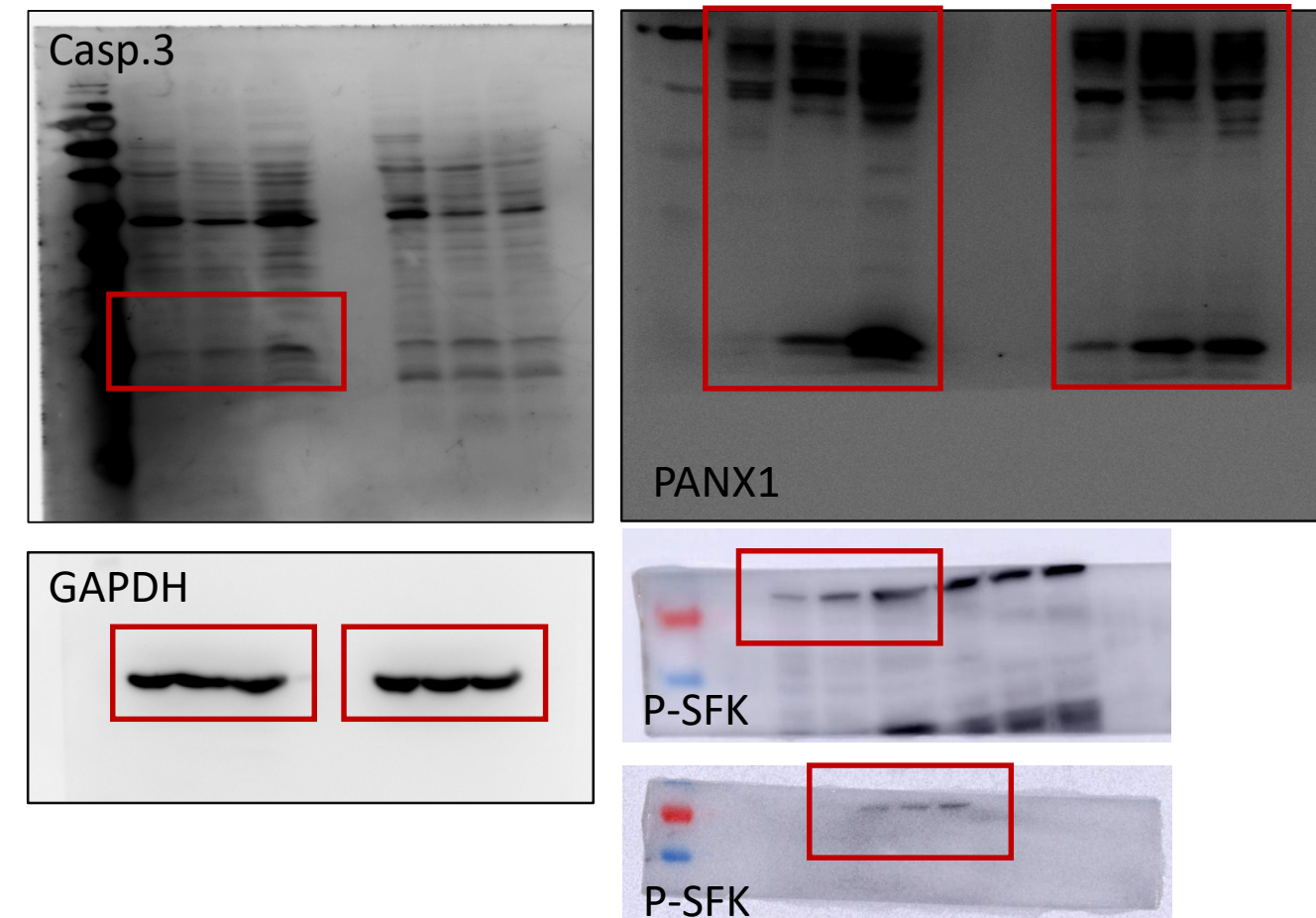
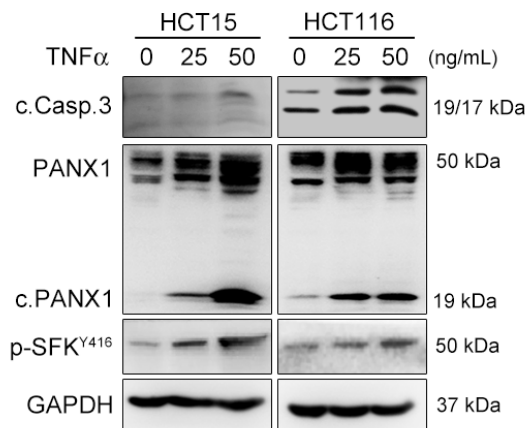


Fig. 1D

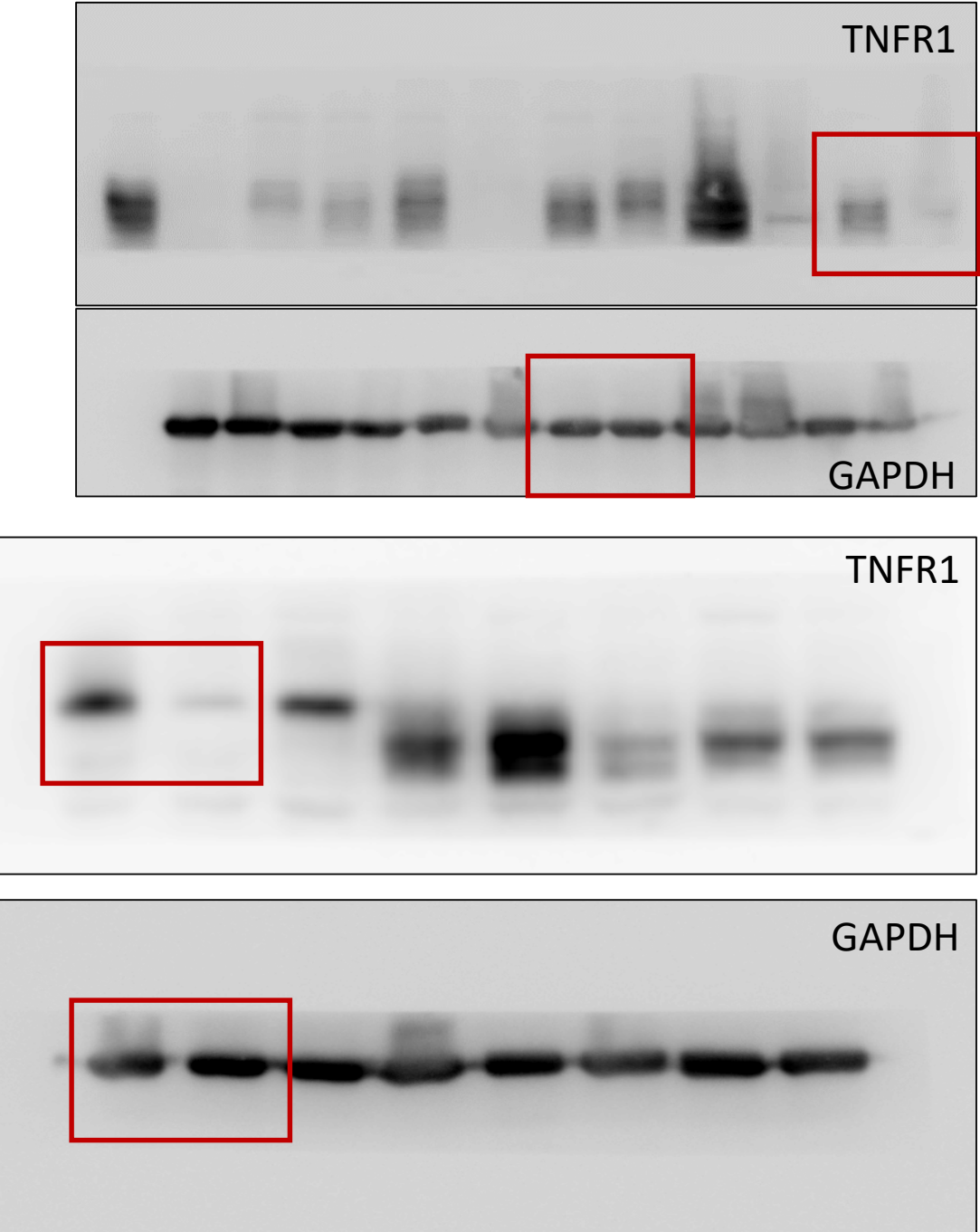
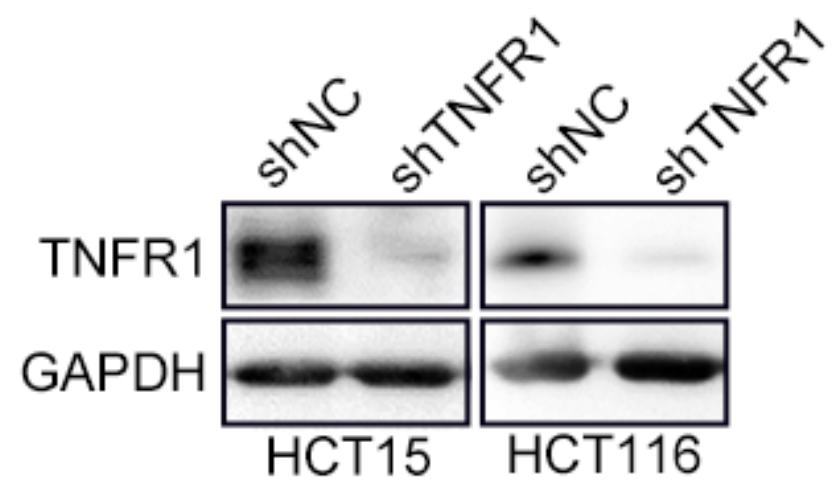


Fig. 1E

E

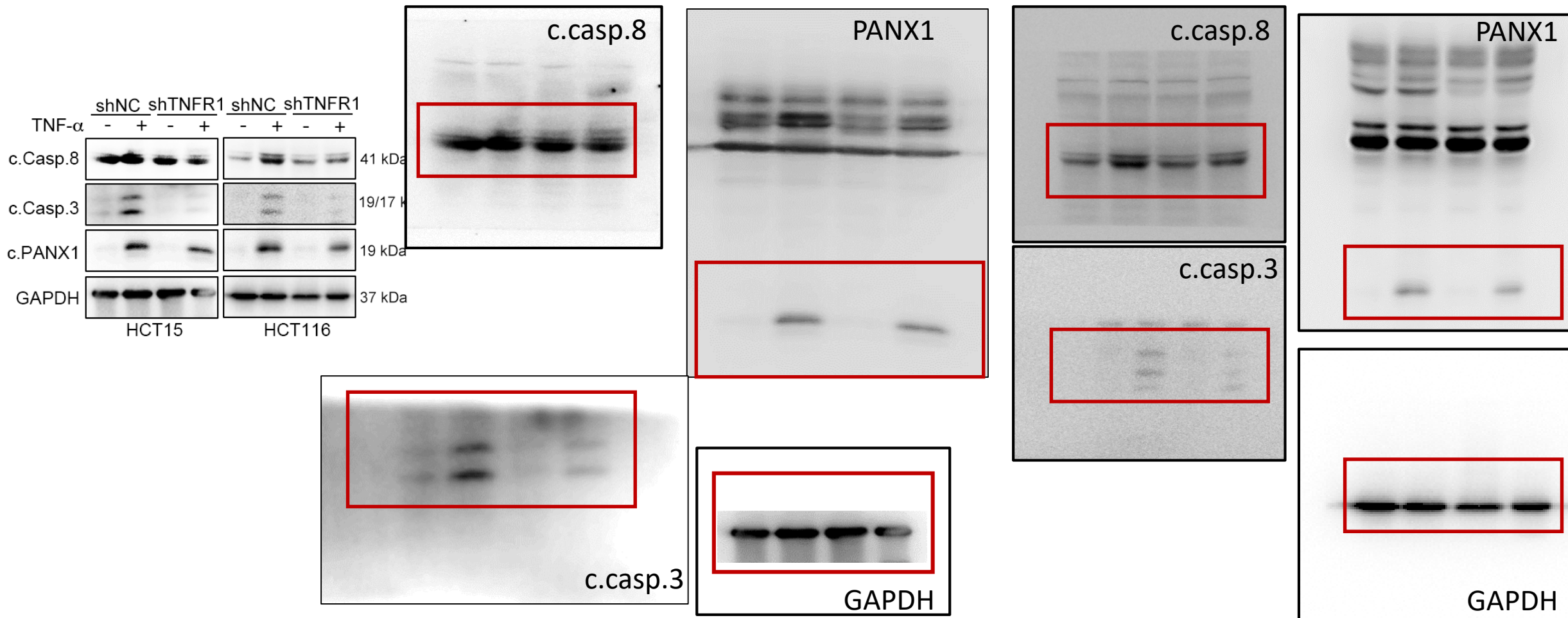


Fig. 1F

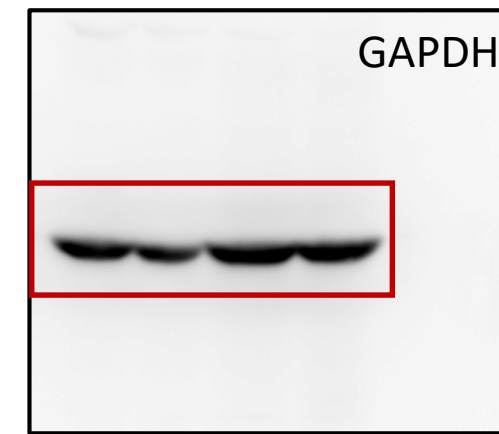
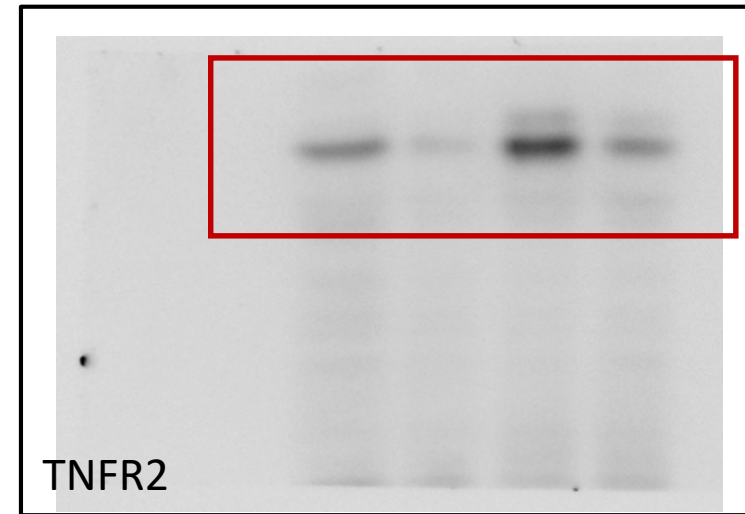
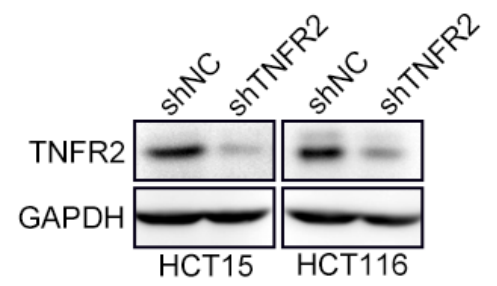


Fig. 1F

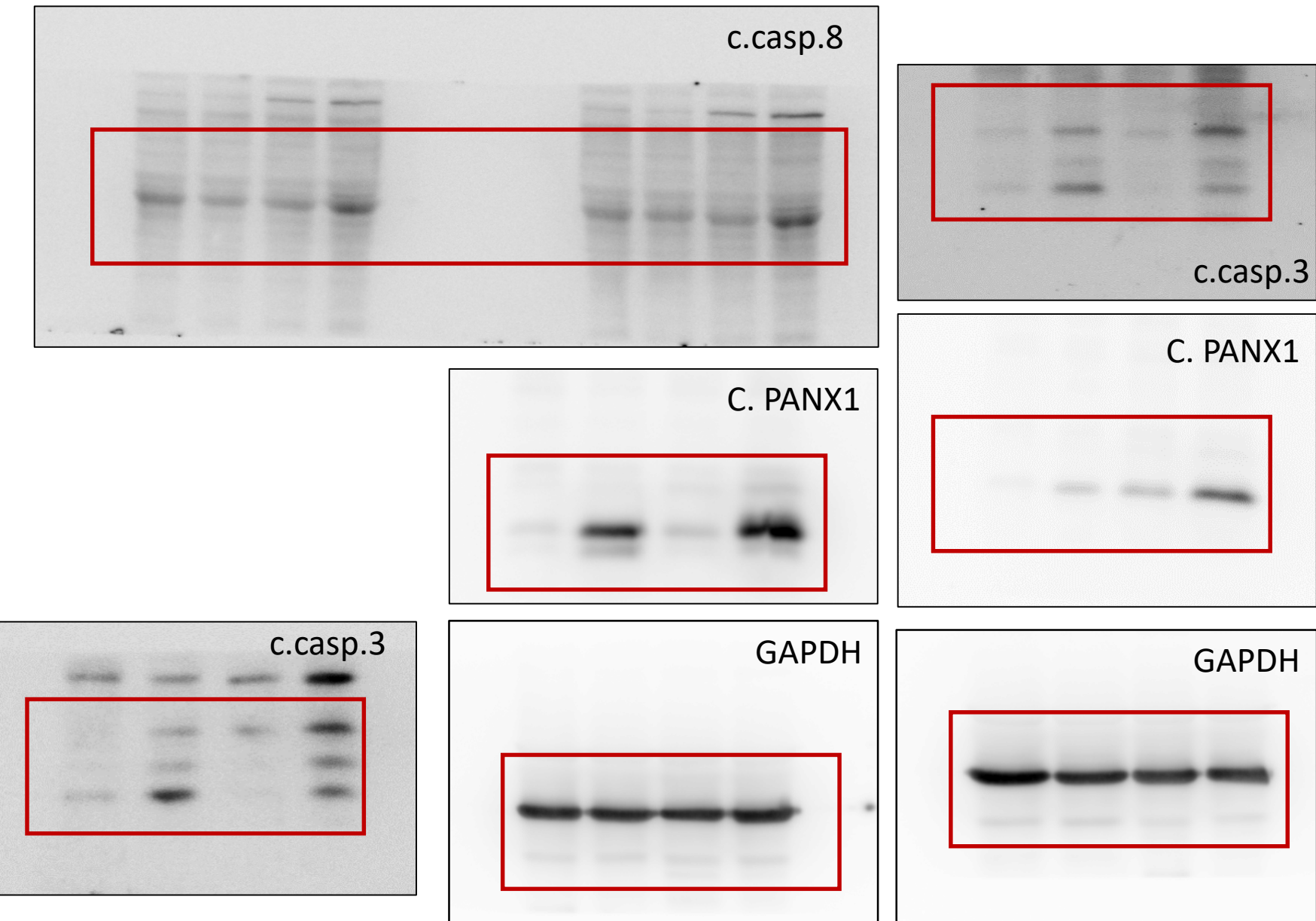
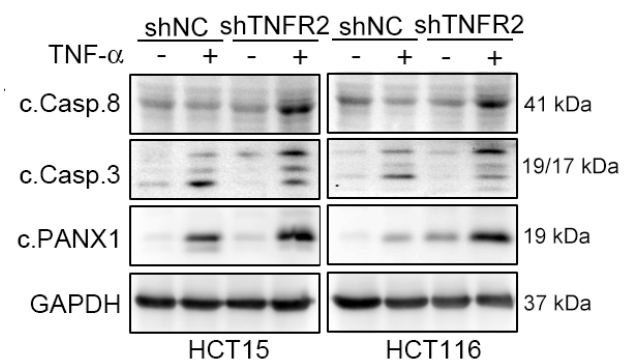
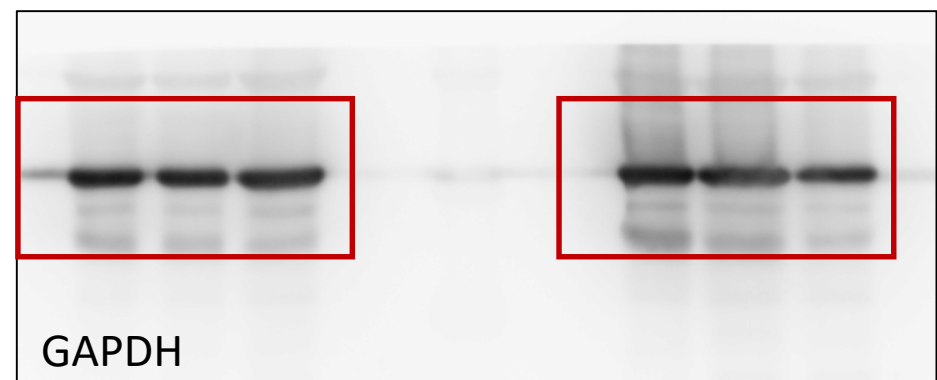
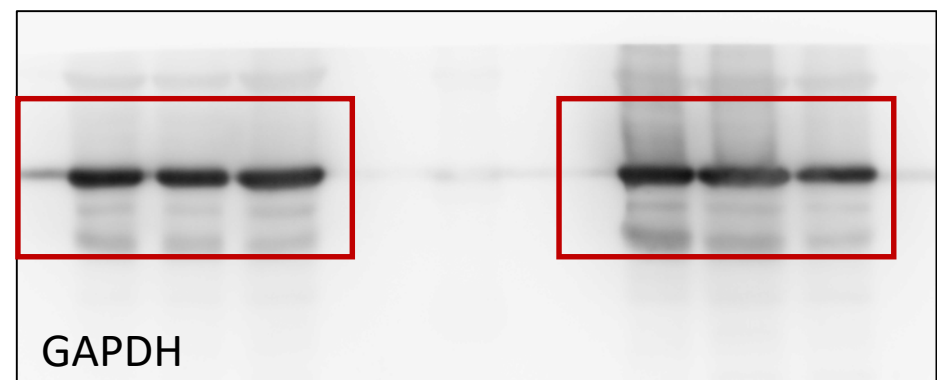
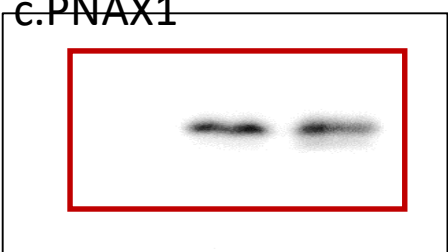
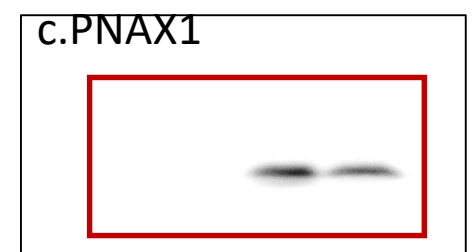
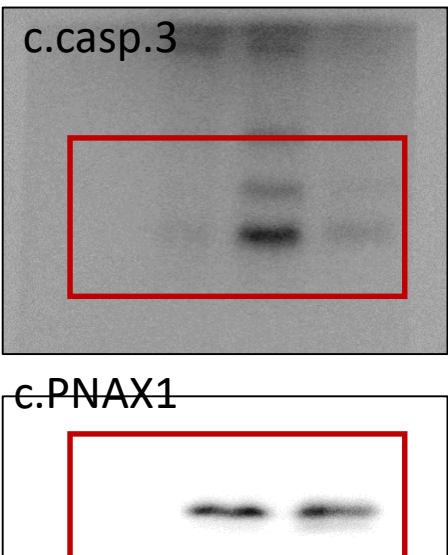
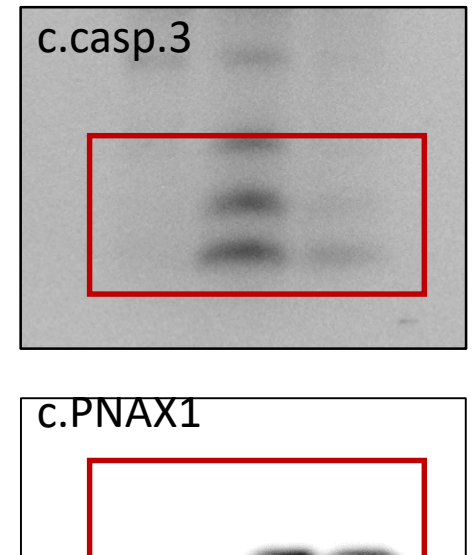
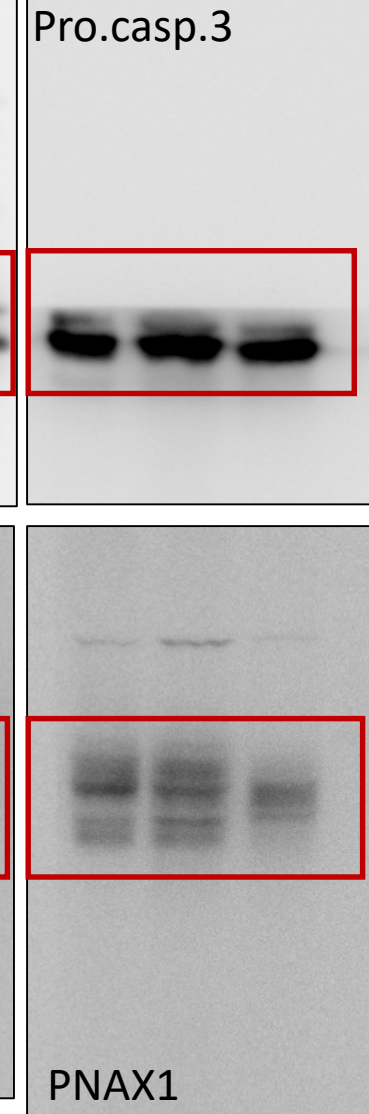
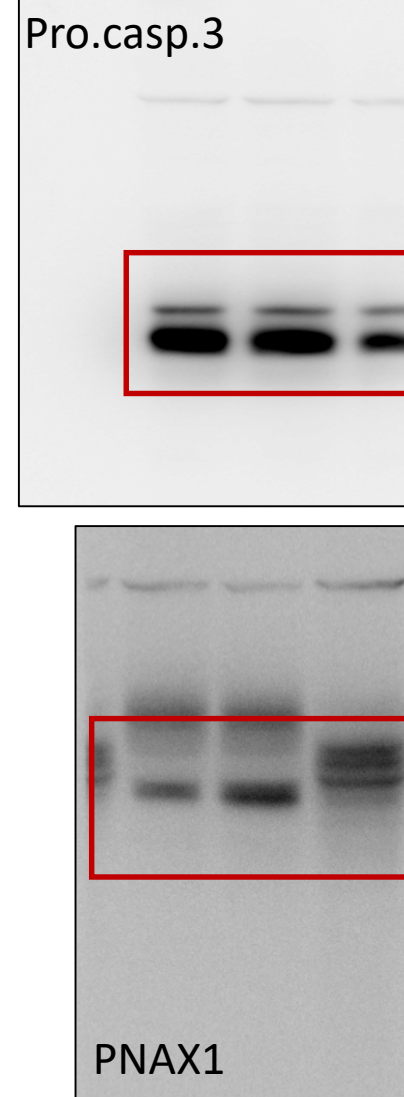
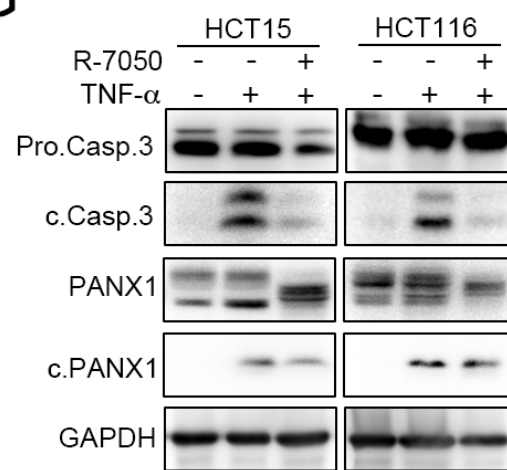


Fig. 1G

G



GAPDH

Fig. 2A

A

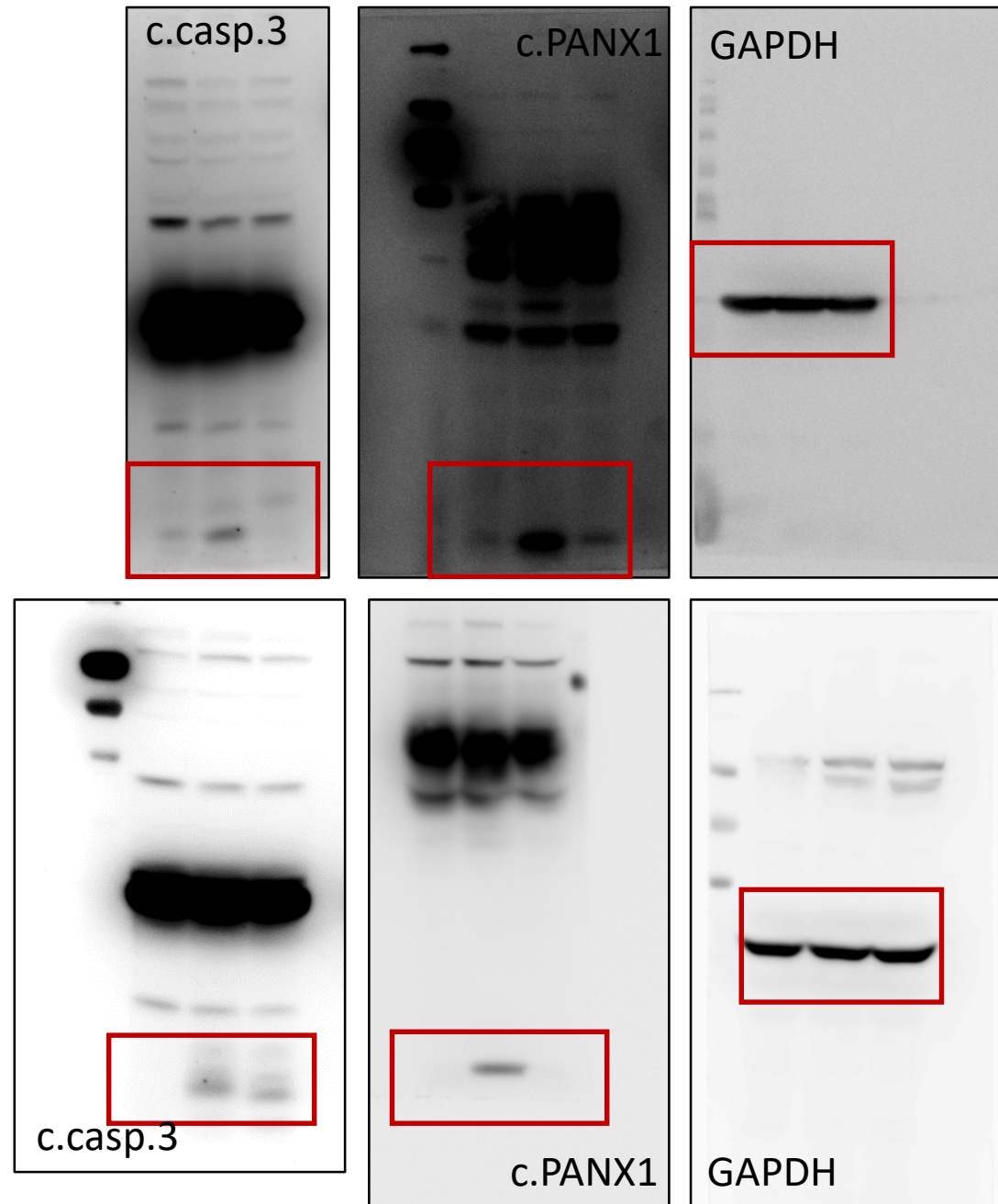
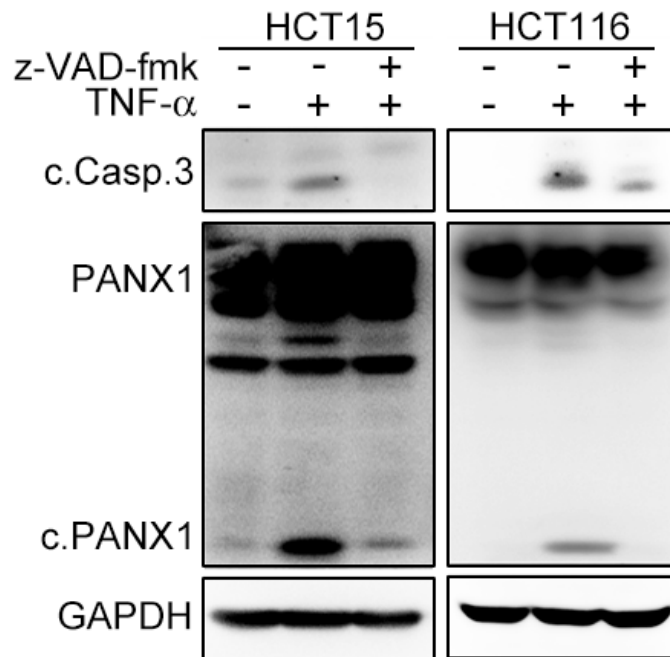


Fig. 2C

C

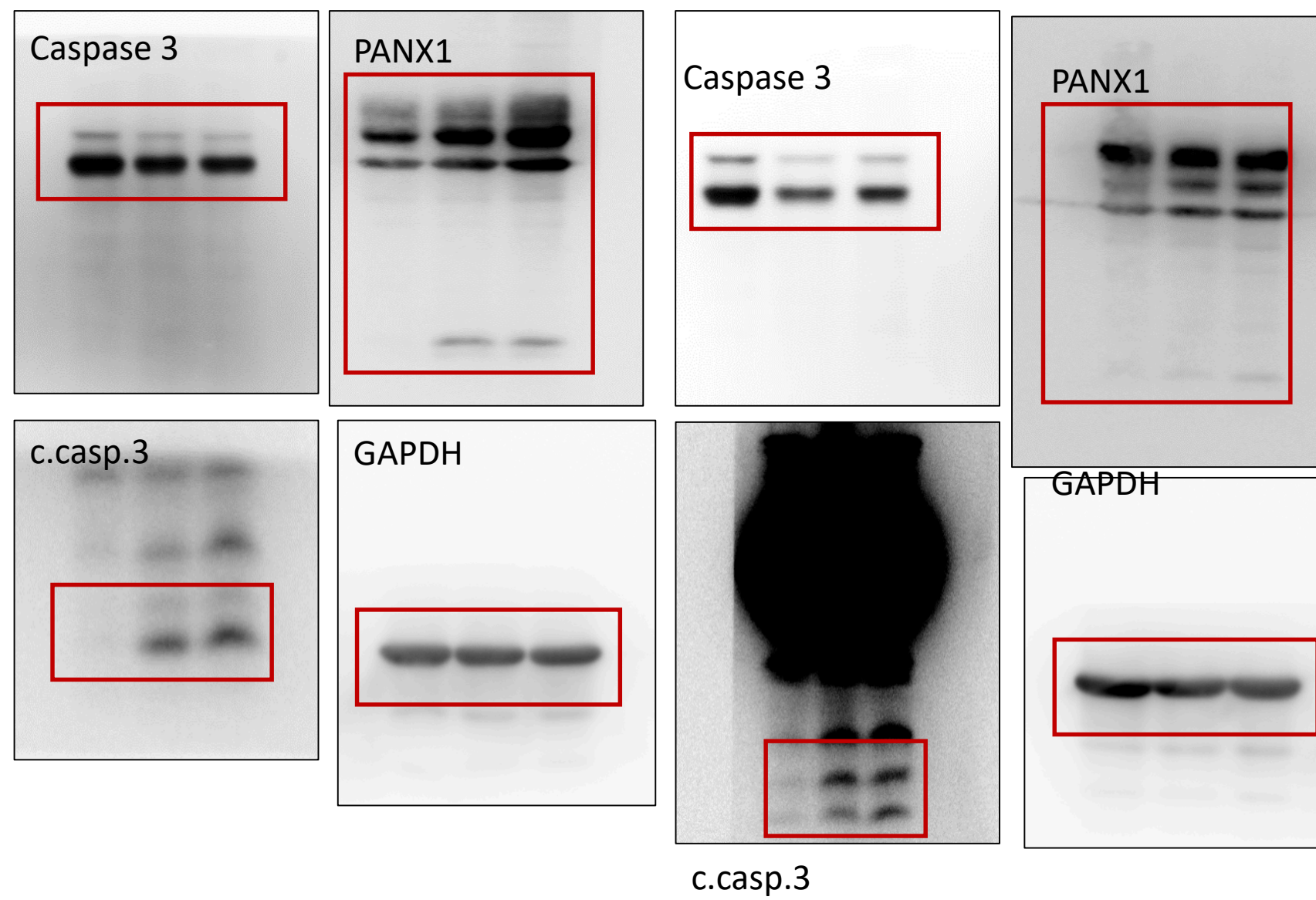
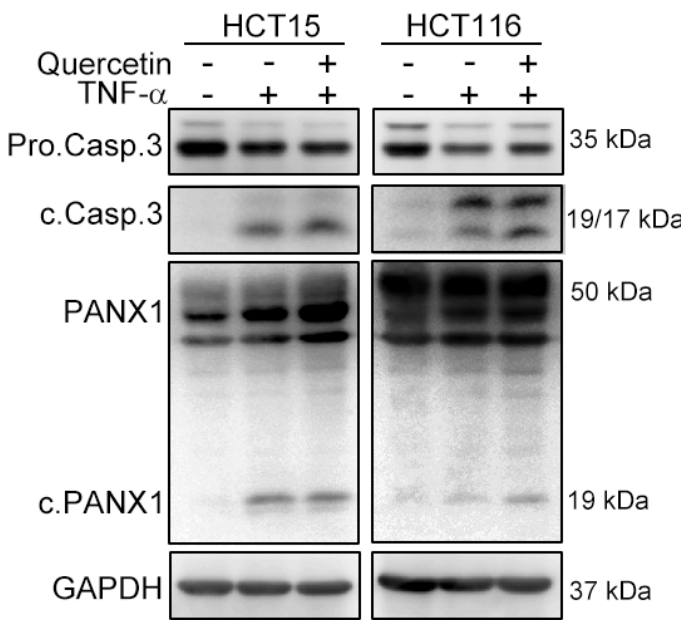


Fig. 2D

D

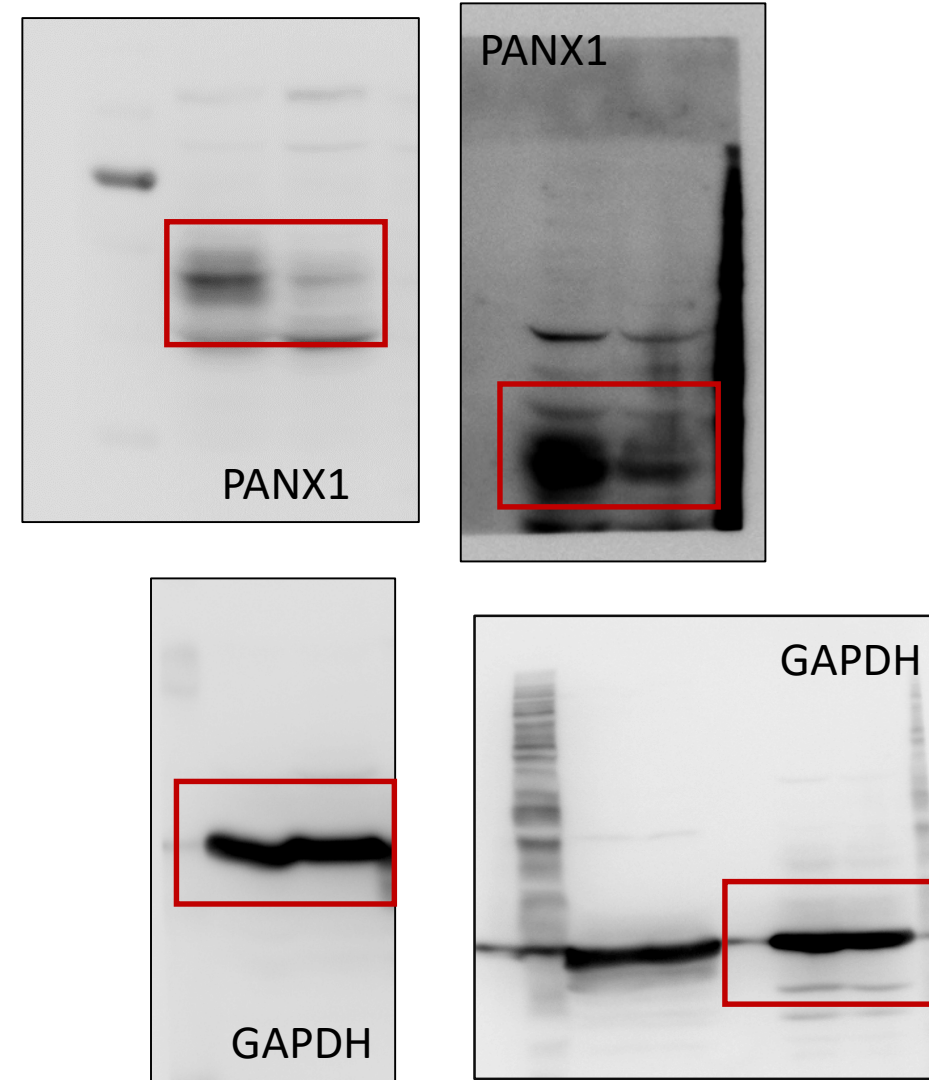
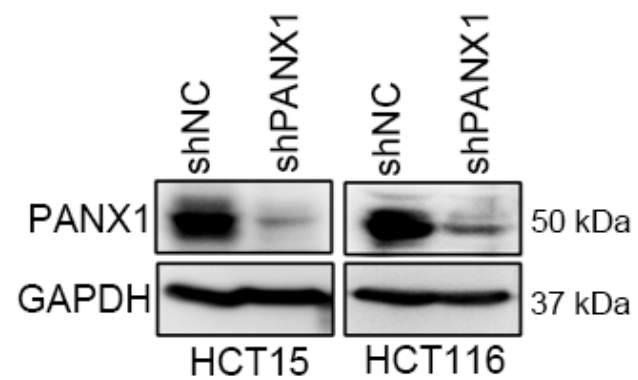


Fig. 2E

E

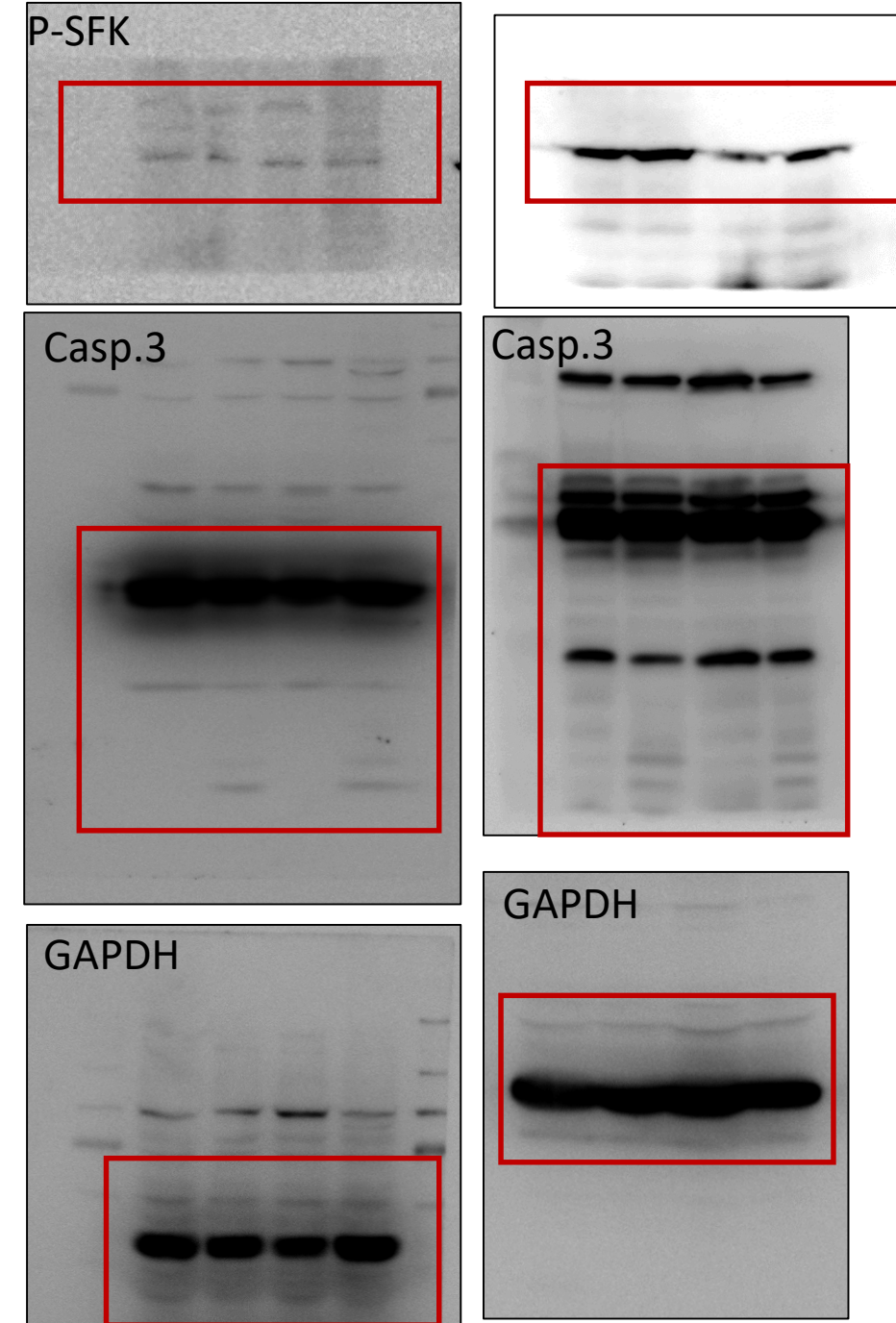
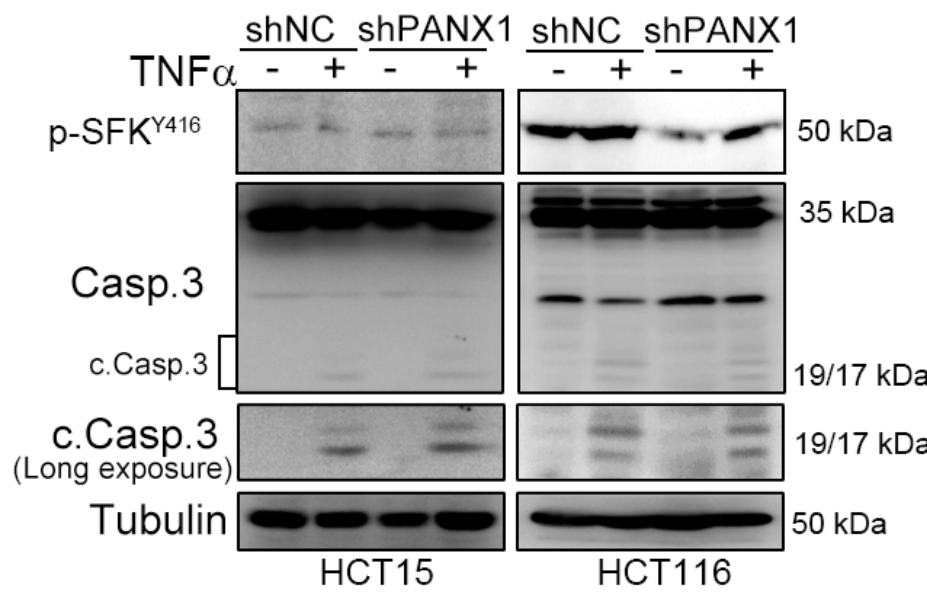


Fig. 3C

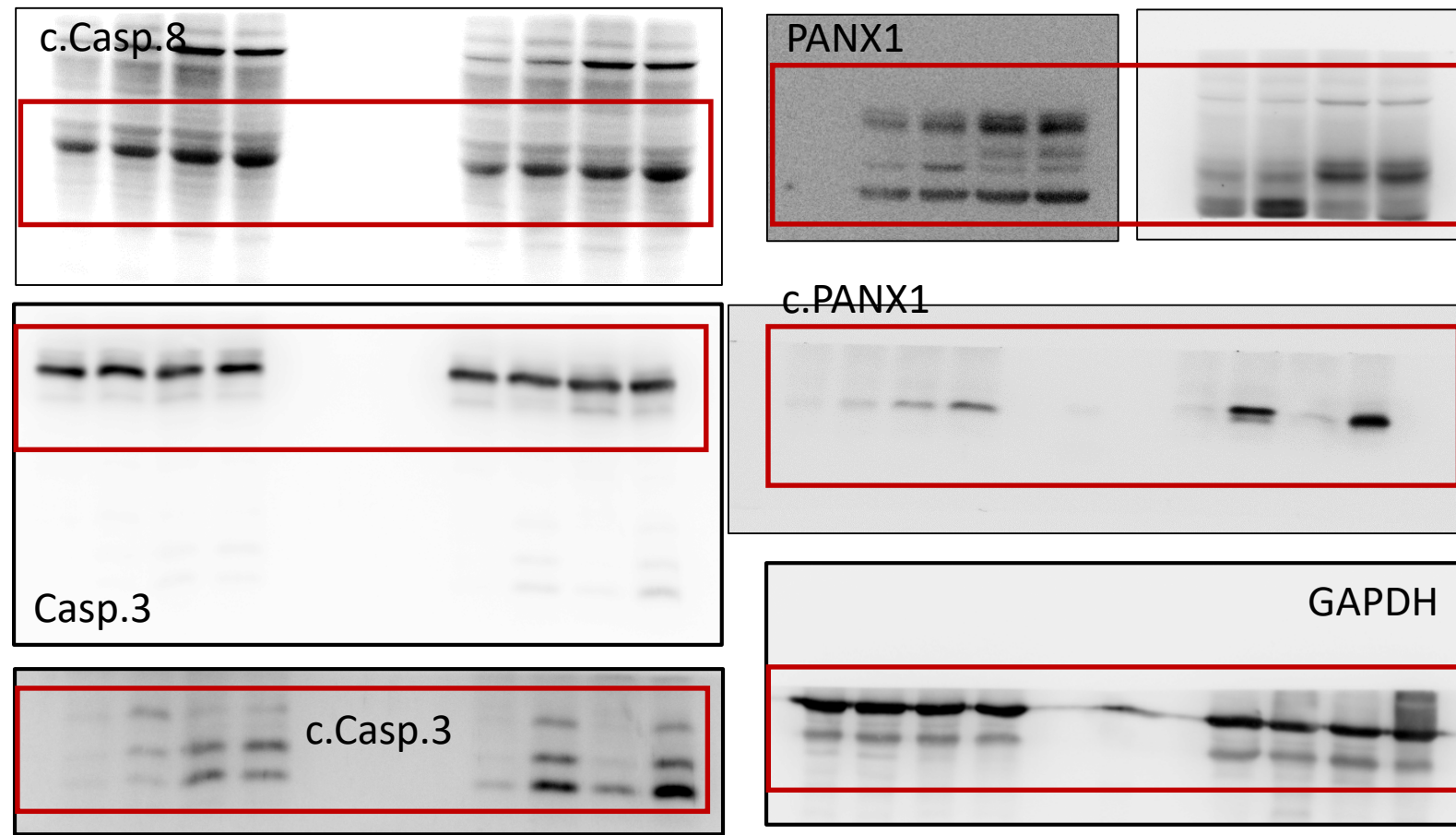
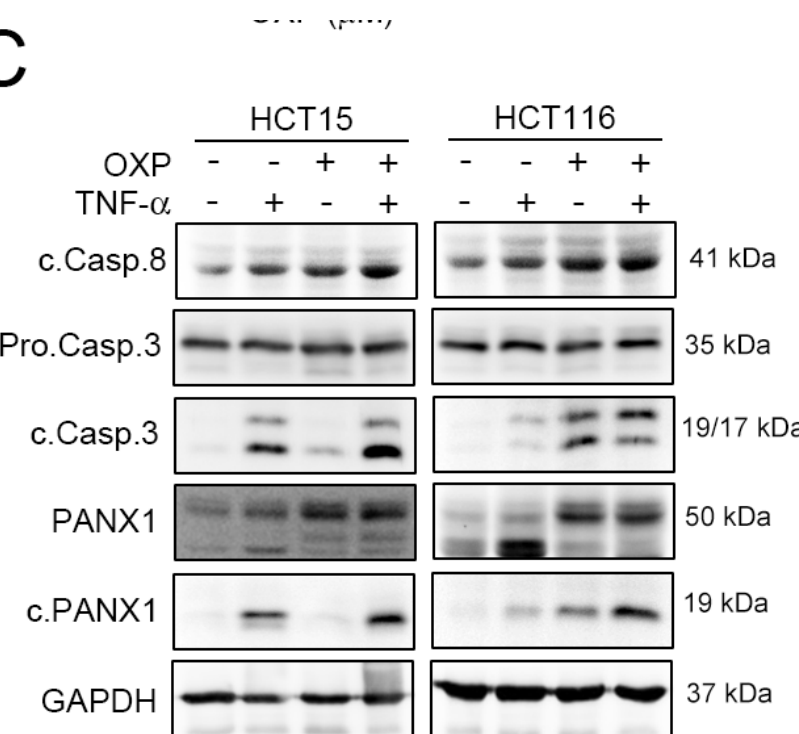
C

Fig. 4A

A

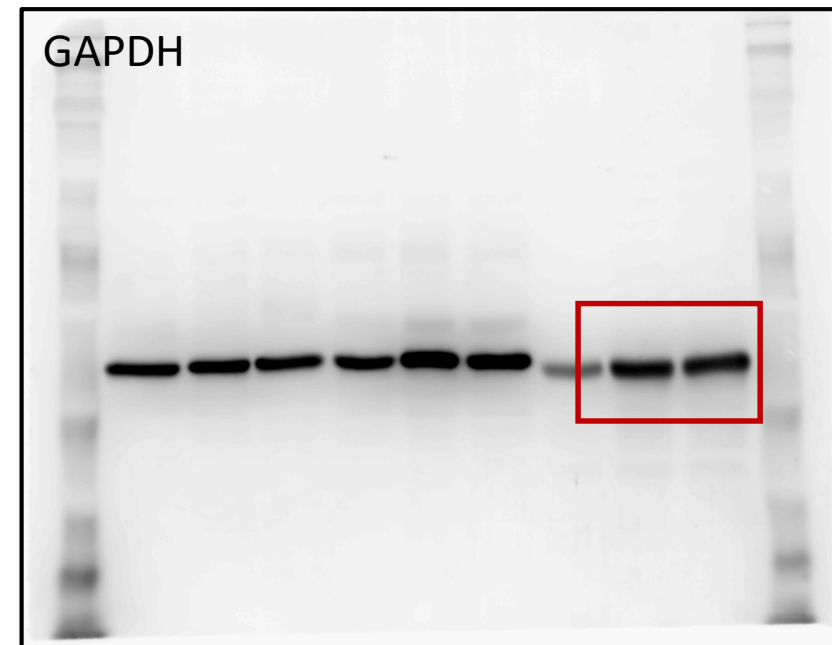
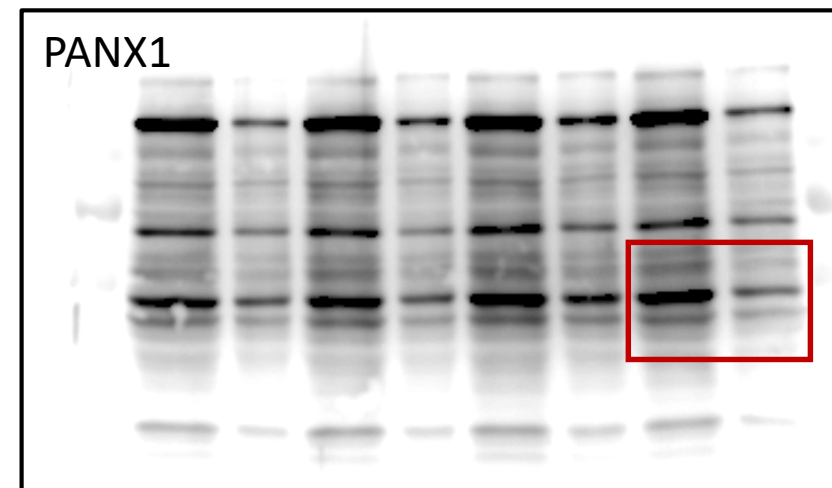
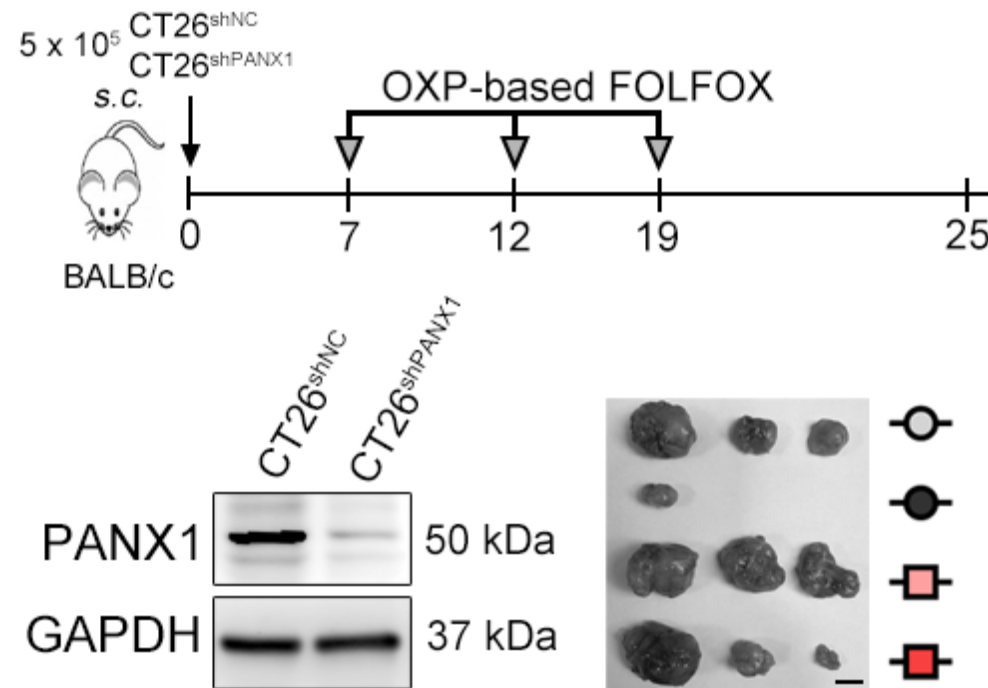


Fig. 5I

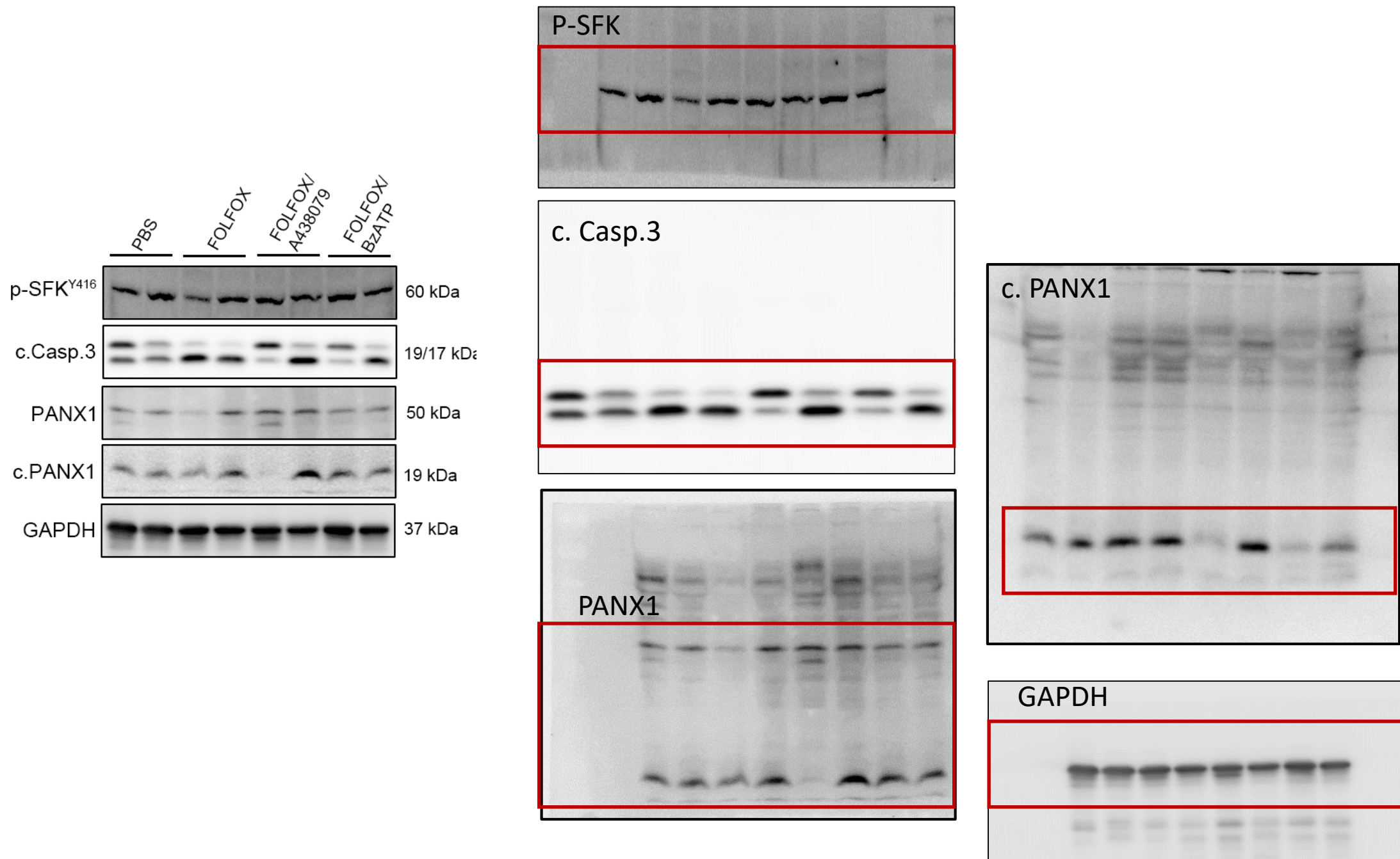


Fig. S2A

A

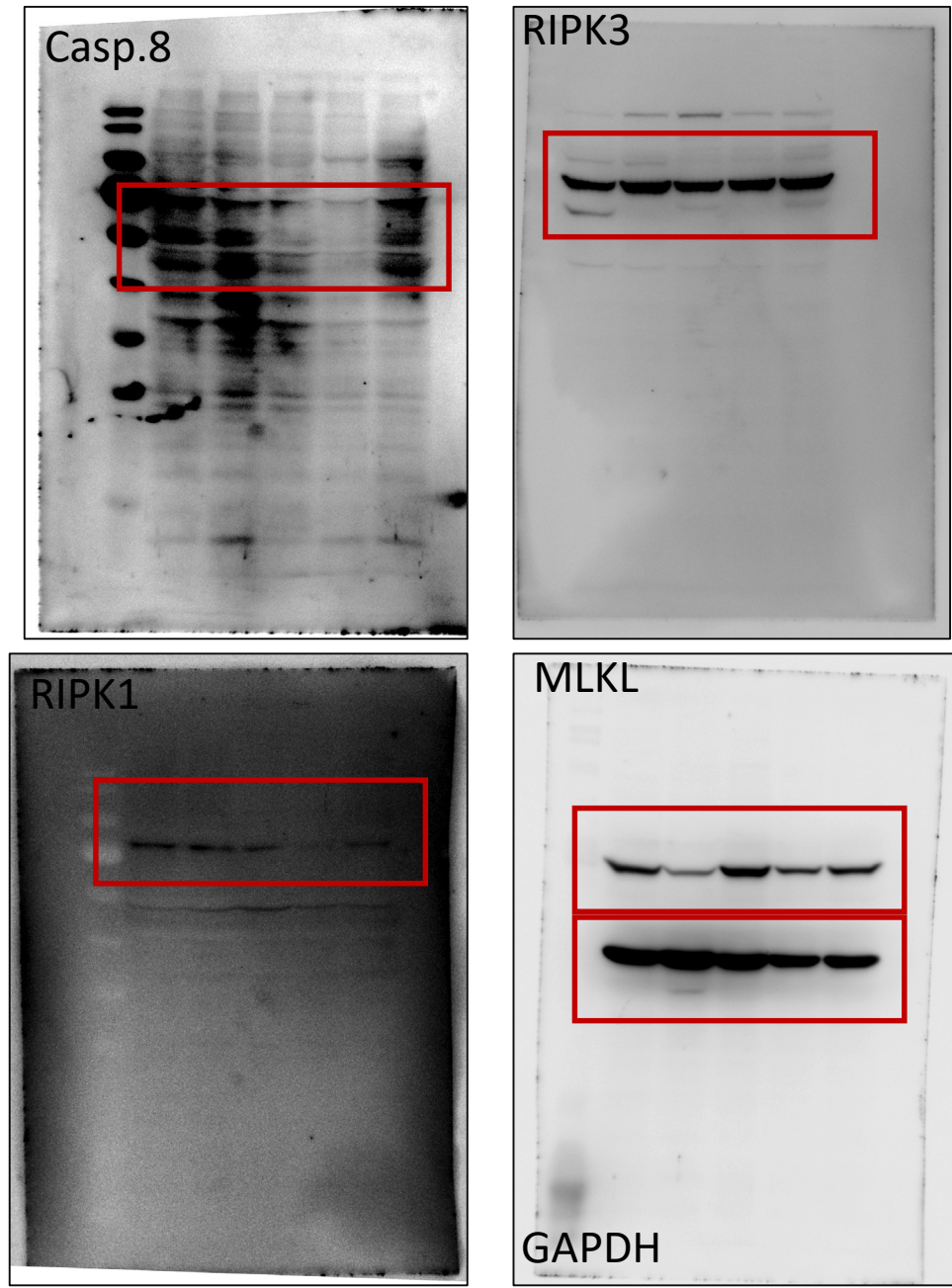
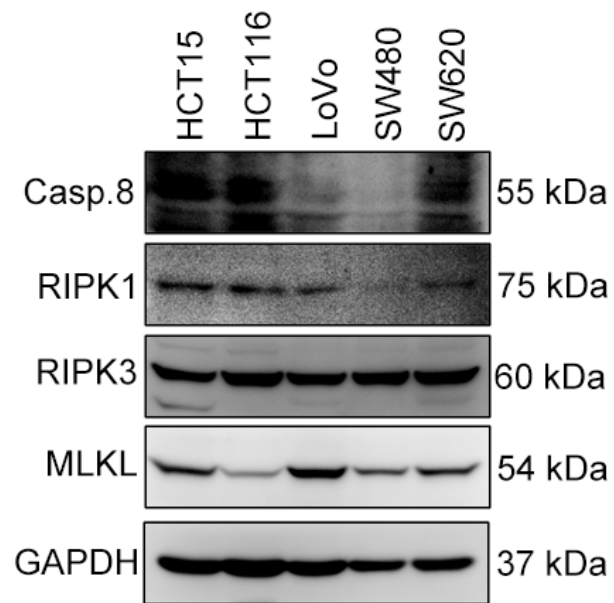


Fig. S2B

B

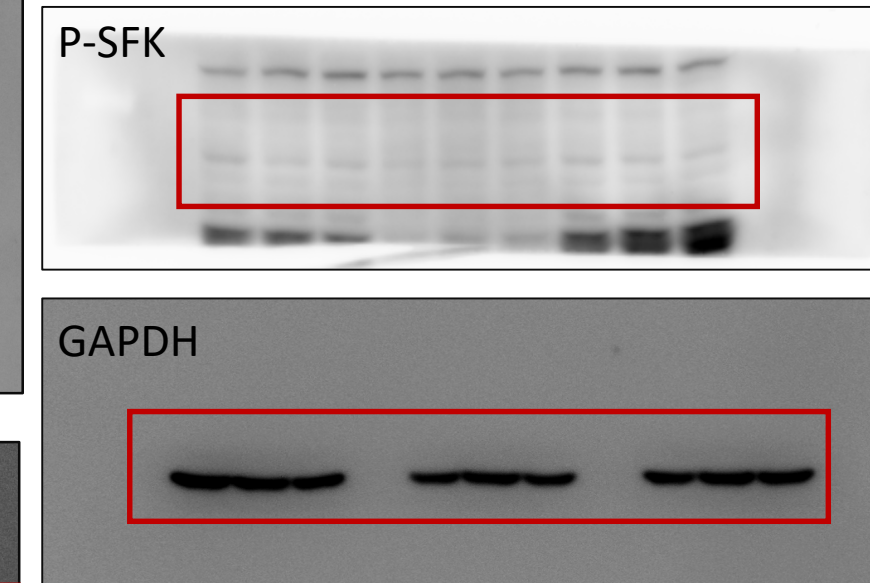
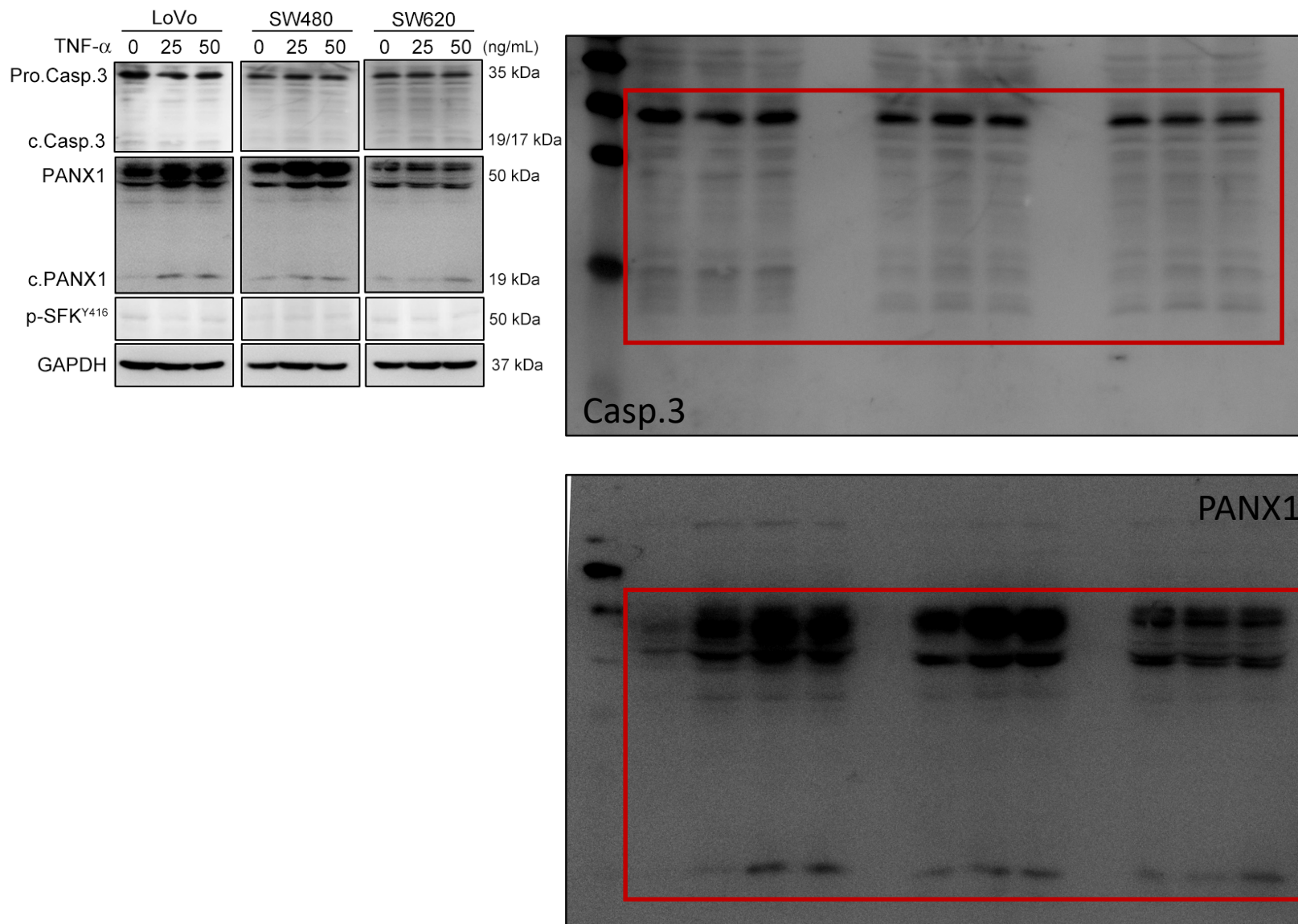


Fig. S2C

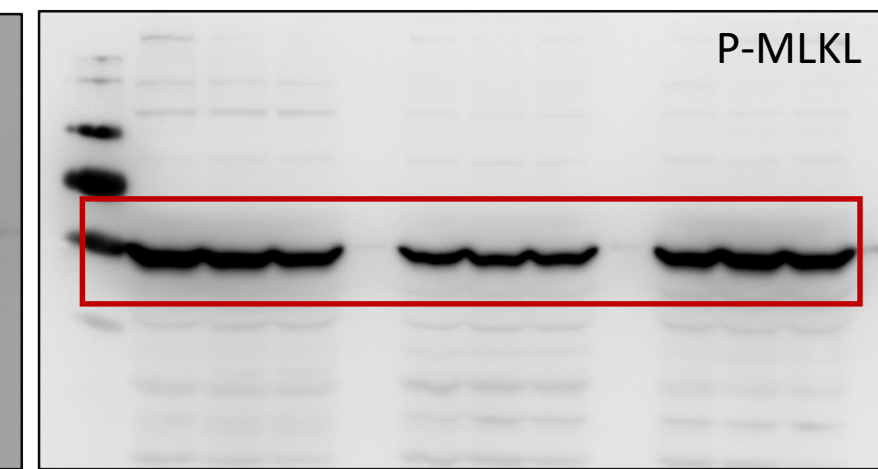
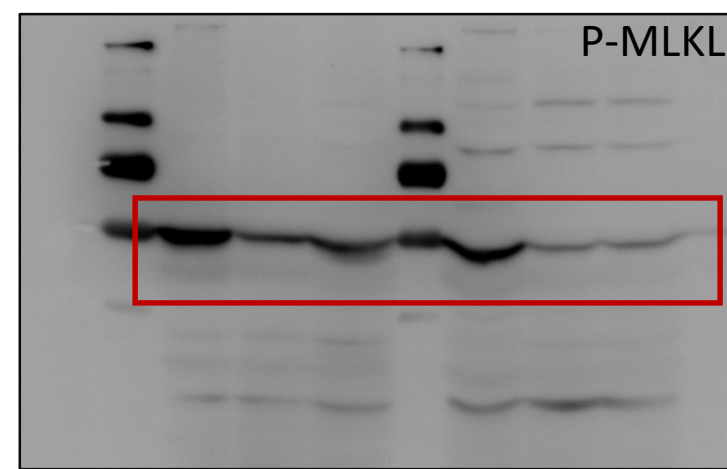
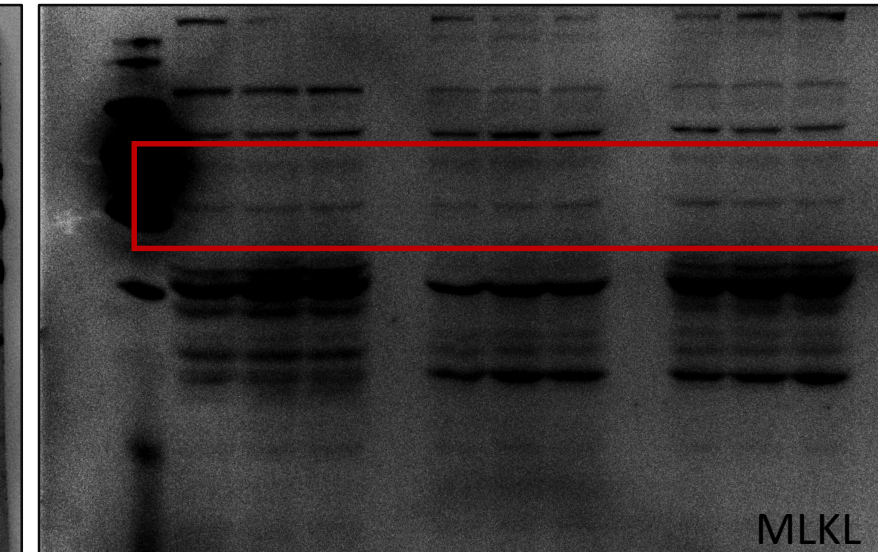
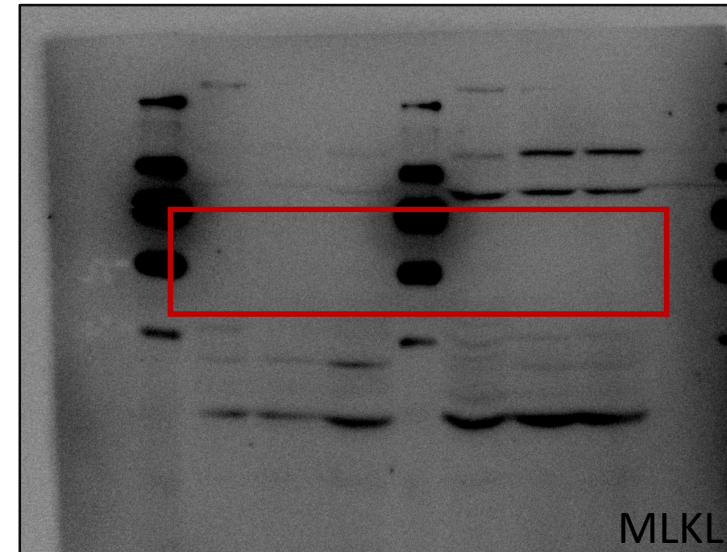
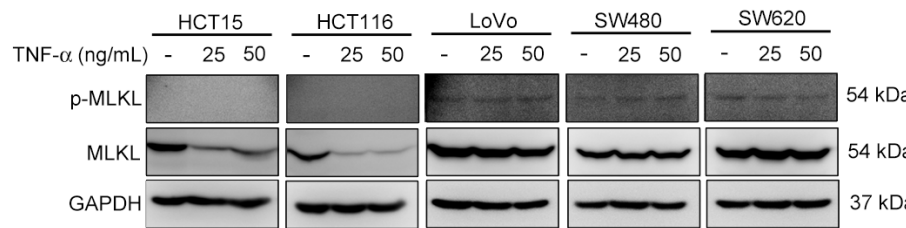


Fig. S2E

